

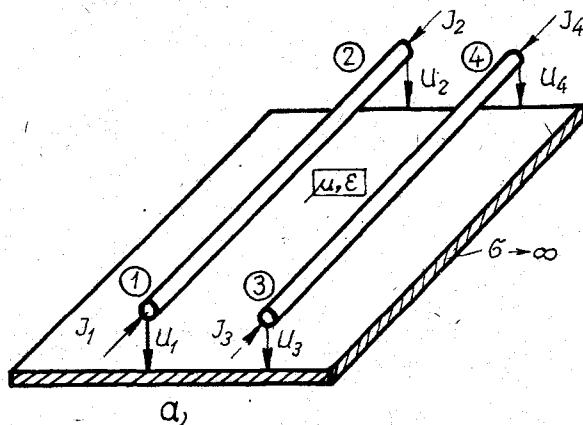
Vezetékes iránycsatolók tervezése

ETO 621.372.832.4

Az iránycsatolók reaktáns, lineáris négykapus szerkezetek. Tulajdonságaikat a mátrixalgebra módszerével írhatjuk le. Különösen előnyös az iránycsatolók szórás mátrixszal történő leírása. Iránycsatolót csatolt tápvonalszakaszokkal realizálhatunk (1a, 1b ábrák).

A két elrendezés elektromos szempontból ekvivalens. Ha a vezeték méretei és a térközük a hullámhossz tört részei, valamint a csatolt vezeték veszteségei elhanyagolhatóak, akkor TEM-erőtér alakul ki, s ilyen módon a sztatikus kapacitások határozzák meg a terjedési viszonyokat (2. ábra).

Ha $C_{10} = C_{20}$, akkor szimmetrikus a szerkezet.



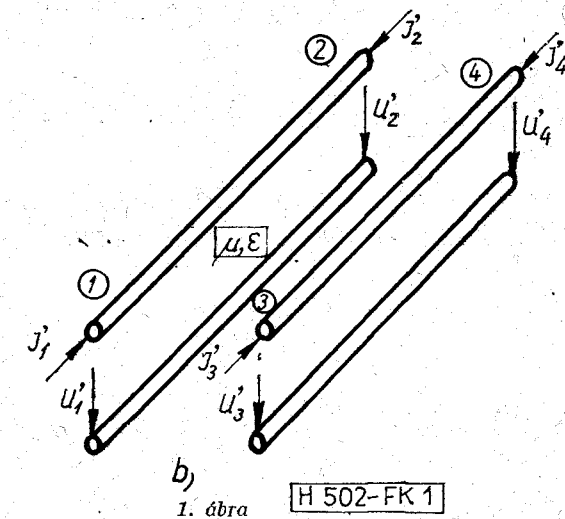
Állandó csatolási tényezőjű szimmetrikus iránycsatoló analízise

Szimmetrikus szerkezetek \bar{S} szórás mátrixának meghatározása mátrixsajátértékek meghatározására vezethető vissza. Az s_i sajátértékekhez tartozó \bar{a}_i sajátvektoros gerjesztésnél a szimmetriasíkokban elektromos fal (rövidzár), illetve mágneses fal (szakadás) elegendi ki a Maxwell-egyenletek megoldását. Az elektromos és a mágneses falak a négykapus szerkezetet négy darab egykapus szerkezetre osztják.

z_i : az egykapus szerkezet bemenő impedanciája,

s_i : az egykapus szerkezet bemeneti feszültségi

reflexió tényezője.



1. ábra

Az 1. táblázat tartalmazza a_i , s_i , z_i értékeket.

Az s_i sajátértékek ismeretében meghatározható az iránycsatoló szórás mátrixa [1].

$$\bar{S} = \bar{U} \bar{S}_d \bar{U}^*, \quad (1)$$

ahol

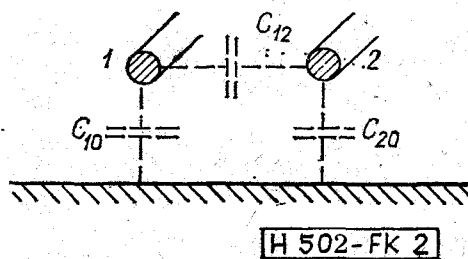
\bar{S}_d a sajátértékek diagonálmátrixa,

\bar{U} a sajátvektorokból képzett mátrix.

Az \bar{S} mátrix reciprok és szimmetrikus mátrix.

$$S_{ij} = S_{ji}, \quad (2)$$

$$S_{ii} = S_{jj}. \quad (3)$$



2. ábra

$$S = \frac{1}{4} \begin{bmatrix} 1 & 1 & 1 & 1 \\ 1 & -1 & 1 & -1 \\ 1 & 1 & -1 & -1 \\ 1 & -1 & -1 & 1 \end{bmatrix} \begin{bmatrix} s_1 & 0 & 0 & 0 \\ 0 & s_2 & 0 & 0 \\ 0 & 0 & s_3 & 0 \\ 0 & 0 & 0 & s_4 \end{bmatrix} \begin{bmatrix} 1 & 1 & 1 & 1 \\ 1 & -1 & 1 & -1 \\ 1 & 1 & -1 & -1 \\ 1 & -1 & -1 & 1 \end{bmatrix} = \begin{bmatrix} S_{11} & S_{12} & S_{13} & S_{14} \\ S_{12} & S_{11} & S_{14} & S_{13} \\ S_{13} & S_{14} & S_{11} & S_{12} \\ S_{14} & S_{13} & S_{12} & S_{11} \end{bmatrix} \quad (4)$$

A mátrixok összeszorozását elvégezve kapjuk a következőket.

$$S_{11} = \frac{(s_1 + s_2 + s_3 + s_4)}{4}, \quad (5)$$

$$S_{12} = \frac{(s_1 - s_2 + s_3 - s_4)}{4}, \quad (6)$$

<p>1</p> $a_1 = \frac{1}{2} \begin{bmatrix} 1 & 1 \\ 1 & 1 \\ 1 & 1 \\ 1 & 1 \end{bmatrix} \begin{cases} z_1 = -j \frac{\sqrt{\epsilon\mu}}{C_{10}} \operatorname{ctg} \theta/2 = -j Z_{0s} \operatorname{ctg} \theta/2 \\ S_1 = \frac{-j Z_{0s} \operatorname{ctg} \theta/2 - Z_0}{-j Z_{0s} \operatorname{ctg} \theta/2 + Z_0} \end{cases}$	<p>2</p> $a_2 = \frac{1}{2} \begin{bmatrix} 1 & 1 \\ -1 & -1 \\ 1 & 1 \\ -1 & -1 \end{bmatrix} \begin{cases} z_2 = j \frac{\sqrt{\epsilon\mu}}{C_{10}} \operatorname{tg} \theta/2 = j Z_{0s} \operatorname{tg} \theta/2 \\ S_2 = \frac{j Z_{0s} \operatorname{tg} \theta/2 - Z_0}{j Z_{0s} \operatorname{tg} \theta/2 + Z_0} \end{cases}$
<p>3</p> $a_3 = \frac{1}{2} \begin{bmatrix} 1 & 1 \\ 1 & 1 \\ -1 & -1 \\ -1 & -1 \end{bmatrix} \begin{cases} z_3 = -j \frac{\sqrt{\epsilon\mu}}{C_{10} + 2C_{12}} \operatorname{ctg} \theta/2 = -j Z_{0a} \operatorname{ctg} \theta/2 \\ S_3 = \frac{-j Z_{0a} \operatorname{ctg} \theta/2 - Z_0}{-j Z_{0a} \operatorname{ctg} \theta/2 + Z_0} \end{cases}$	<p>4</p> $a_4 = \frac{1}{2} \begin{bmatrix} 1 & 1 \\ -1 & -1 \\ -1 & -1 \\ 1 & 1 \end{bmatrix} \begin{cases} z_4 = j \frac{\sqrt{\epsilon\mu}}{C_{10} + 2C_{12}} \operatorname{tg} \theta/2 = j Z_{0a} \operatorname{tg} \theta/2 \\ S_4 = \frac{j Z_{0a} \operatorname{tg} \theta/2 - Z_0}{j Z_{0a} \operatorname{tg} \theta/2 + Z_0} \end{cases}$

H 502-FK 1T

$$S_{13} = \frac{(s_1 + s_2 - s_3 - s_4)}{4}, \quad (7)$$

$$S_{14} = \frac{(s_1 - s_2 - s_3 + s_4)}{4}. \quad (8)$$

Ideális iránycsatlónál nem jut teljesítmény a diagonálisan fekvő kapura.

$$S_{14} = 0 \quad (9)$$

Másrészt az ideális iránycsatló illesztett átmenet.

$$S_{11} = 0 \quad (10)$$

A két feltétel teljesül, ha a mátrixsajátértékekre fennáll az alábbi kötés.

$$s_1 = -s_4 \quad (11)$$

$$s_2 = -s_3 \quad (12)$$

Az ideális iránycsatló szórási mátrixa:

$$S = \begin{bmatrix} 0 & \frac{s_1 + s_3}{2} & \frac{s_1 - s_3}{2} & 0 \\ \frac{s_1 + s_3}{2} & 0 & 0 & \frac{s_1 - s_3}{2} \\ \frac{s_1 - s_3}{2} & 0 & 0 & \frac{s_1 + s_3}{2} \\ 0 & \frac{s_1 - s_3}{2} & \frac{s_1 + s_3}{2} & 0 \end{bmatrix} \quad (13)$$

A mátrixsajátértékekre adott kötés alapján az alábbi összefüggés adódik:

$$Z_0 = \sqrt{Z_{0s} \cdot Z_{0a}} \quad (14)$$

Z_{0s} a szimmetrikus módú hullámellenállás.

$$Z_{0s} = \frac{1}{v \cdot C_{10}} = \frac{\sqrt{\epsilon\mu}}{C_{10}}. \quad (15)$$

Z_{0a} az aszimmetrikus módú hullámellenállás.

$$Z_{0a} = \frac{1}{v(C_{10} + 2C_{12})} = \frac{\sqrt{\epsilon\mu}}{C_{11} + C_{12}}. \quad (16)$$

Bevezetjük a k csatolási tényezőt.

$$k = \frac{C_{12}}{\sqrt{C_{11} C_{22}}} \quad (17)$$

Ha

$$C_{11} = C_{22} \quad k = \frac{C_{12}}{C_{11}} = \frac{C_{12}}{C_{10} + C_{12}}, \quad (18)$$

$$Z_0 = \frac{1}{v \cdot C_{11} \sqrt{1 - k^2}} = \frac{\sqrt{\epsilon\mu}}{C_{11} \sqrt{1 - k^2}}, \quad (19)$$

$$C_{11} = C_{10} + C_{12} = \frac{\sqrt{\epsilon\mu}}{Z_0 \cdot \sqrt{1 - k^2}}. \quad (20)$$

A csatolási tényező kifejezhető a szimmetrikus és az aszimmetrikus módú hullámellenállásokkal.

$$k = \frac{Z_{0s} - Z_{0a}}{Z_{0s} + Z_{0a}} \quad (21)$$

Illetve a hullámellenállások kifejezhetők a k tényezővel:

$$Z_{0s} = Z_0 \sqrt{\frac{1+k}{1-k}}, \quad (22)$$

$$Z_{0a} = Z_0 \sqrt{\frac{1-k}{1+k}}. \quad (23)$$

A továbbiakban meghatározzuk az iránycsatoló különböző fontos jellemzőit. A 3. ábra ideális lezárások között működő ideális iránycsatolót mutat.

A csatolás meghatározása

$$C = i0 \lg \frac{P_0}{P_3} = i0 \lg \frac{|a_1|^2}{|b_3|^2} = 10 \lg \frac{1}{|S_{13}|^2} \quad (24)$$

[c]=dB.

$$S_{13} = \frac{s_1 - s_3}{2} = \frac{1}{2} \left(\frac{-jZ_{0s} \operatorname{ctg} \Theta/2 - Z_0}{-jZ_{0s} \operatorname{ctg} \Theta/2 + Z_0} - \frac{-jZ_{0a} \operatorname{ctg} \Theta/2 - Z_0}{-jZ_{0a} \operatorname{ctg} \Theta/2 + Z_0} \right). \quad (25)$$

A műveleteket elvégezve

$$S_{13} = \frac{jk \cdot \sin \Theta}{\sqrt{1 - k^2} \cos \Theta + j \sin \Theta}. \quad (26)$$

A Richards-transzformáció:

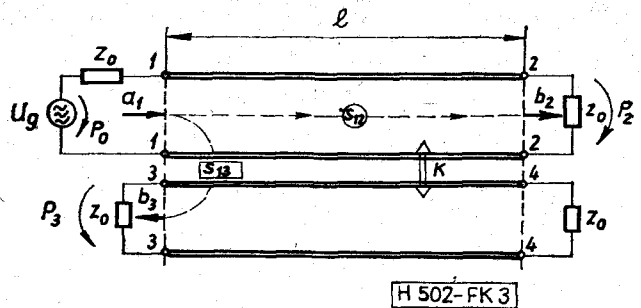
$$\Omega = \operatorname{tg} \Theta = \operatorname{tg} \beta l, \quad (27)$$

$$S_{13} = j\Omega \frac{k}{\sqrt{1 - k^2 + j\Omega}}. \quad (28)$$

A 4. ábrán van feltüntetve a szórási mátrixelem abszolútérték frekvenciafüggése.

A csatolás:

$$C = 10 \lg \frac{1}{k^2} + 10 \lg \left(1 + \frac{1 - k^2}{\Omega^2} \right) = C_0 + C(\Omega), \quad (29)$$



3. ábra

sávközépi frekvencián $l = \frac{\lambda_0}{4}$, $\Theta_0 = \frac{\pi}{2}$, $\Omega_0 \rightarrow \infty$,

$$C = C_0 = -20 \lg k. \quad (30)$$

Ha adva van C_0 meghatározható a k tényező.

Az 5. ábrán van feltüntetve, hogyan változik egy 10 dB csatolású iránycsatoló csatolási csillapítása a frekvencia függvényében.

A sáv szélesség meghatározása

A sáv szélességet a 3 dB-es pontok alapján határozzuk meg (6. ábra).

$$w = 2 \cdot \frac{\Theta_b - \Theta_a}{\Theta_b + \Theta_a} \quad (31)$$

$$C(\Omega) = 3 \text{ dB} \quad (32)$$

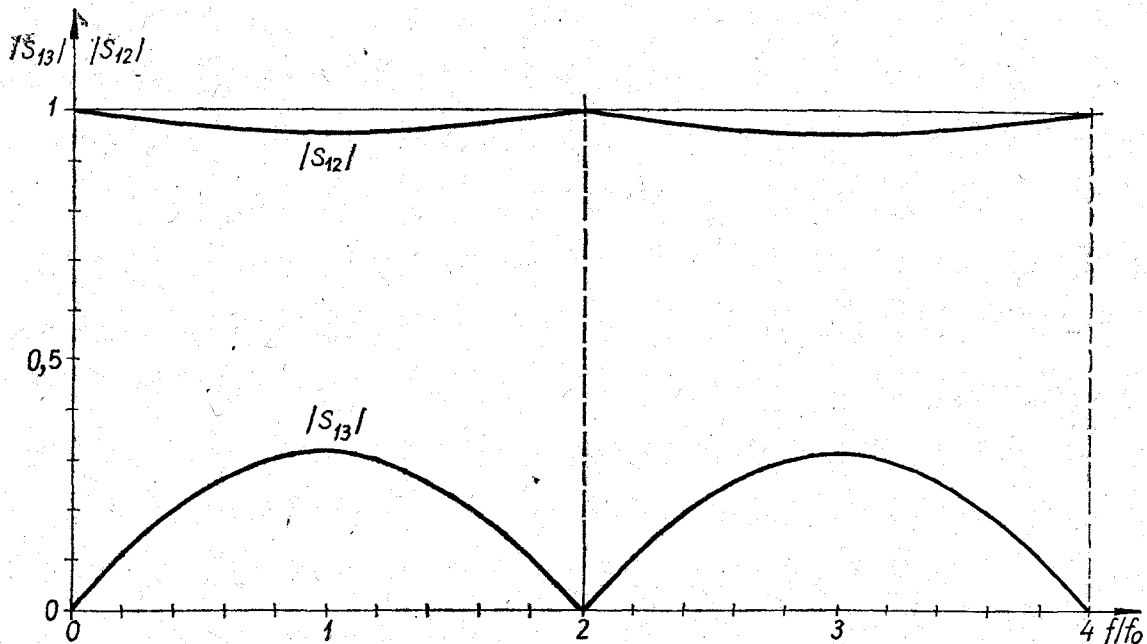
$$1 + \frac{1 - k^2}{\Omega^2} = 2. \quad (33)$$

Az alsó sávhatár

$$\Theta_a = \operatorname{arc} \operatorname{tg} \left\{ \sqrt{1 - k^2} \right\}. \quad (34)$$

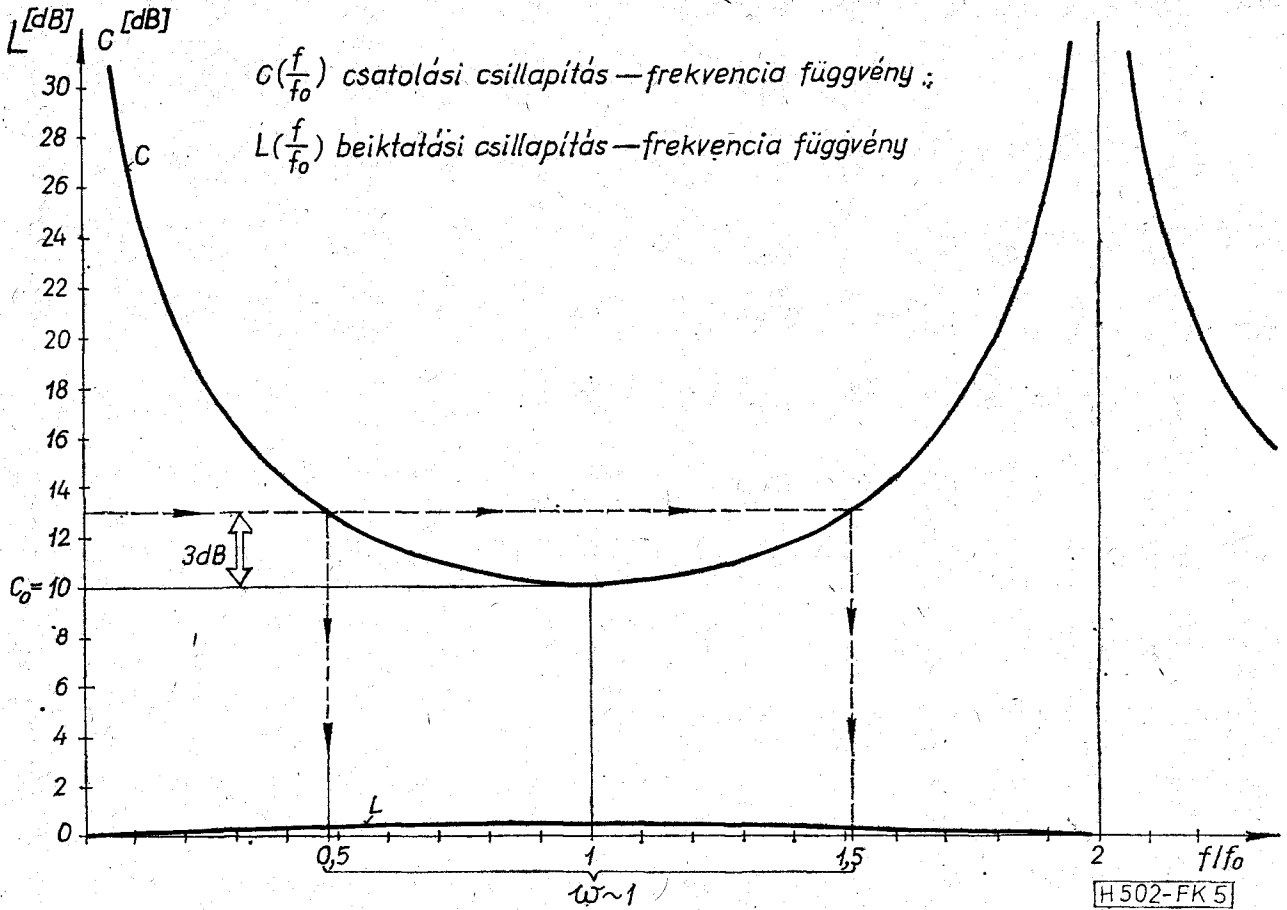
A felső sávhatár

$$\Theta_b = \pi - \Theta_a. \quad (35)$$

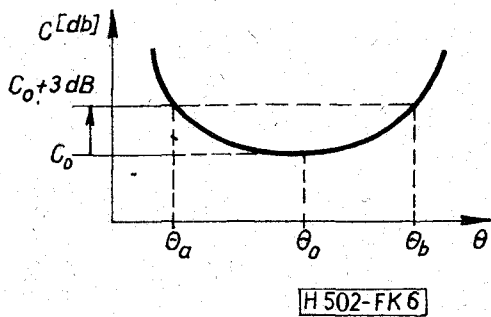


4. ábra

H 502-FK 4



5. ábra



6. ábra

A relatív sávszélesség

$$w = \frac{2}{\pi} (\pi - 2 \arctan \{ \sqrt{1-k^2} \}), \quad (36)$$

ha $k^2 \ll 1$, $w \rightarrow 1$ és

$$\frac{\theta_b}{\theta_a} = \frac{2+w}{2-w} = 3.$$

Beiktatási csillapítás meghatározása

$$L = 10 \lg \frac{P_0}{P_2} = 10 \lg \frac{|a_1|^2}{|b_2|^2} = 10 \lg \frac{1}{|S_{12}|^2}, \quad (37)$$

$$S_{12} = \frac{s_1 + s_3}{2} = \frac{1}{2} \left[\frac{-jZ_{0s} \operatorname{ctg} \Theta/2 - Z_0}{-jZ_{0s} \operatorname{ctg} \Theta/2 + Z_0} + \right.$$

$$\left. + \frac{-jZ_{0a} \operatorname{ctg} \Theta/2 - Z_0}{-jZ_{0a} \operatorname{ctg} \Theta/2 + Z_0} \right]. \quad (38)$$

Elvégezve a műveleteket kapjuk a következőt:

$$S_{12} = \frac{\sqrt{1-k^2}}{\sqrt{1-k^2} \cos \Theta + j \sin \Theta}. \quad (39)$$

Bevezetve $\Omega = \operatorname{tg} \Theta$ jelölést;

$$S_{12} = \sqrt{1+\Omega^2} \frac{\sqrt{1-k^2}}{\sqrt{1-k^2} + j\Omega}. \quad (40)$$

A beiktatási csillapítás

$$L = 10 \lg \frac{1}{1-k^2} + 10 \lg \left(1 - \frac{k^2}{1+\Omega^2} \right) = L_0 - L(\Omega). \quad (41)$$

Ha $l = \frac{\lambda_0}{4}$, $\Theta_0 = \frac{\pi}{2}$, $\Omega_0 \rightarrow \infty$,

$$L = L_0 = 10 \lg \frac{1}{1-k^2} = L_{\max}. \quad (42)$$

A maximális beiktatási csillapítás sávközépen van, ahol a csatolási csillapítás minimális. Sávközéptől eltérő frekvencián a beiktatási csillapítás $L(\Omega = \operatorname{tg} \frac{\pi f}{2 f_0})$ értékkel kisebb.

$$L(\Omega) = -10 \lg \left(1 - \frac{k^2}{1 + \Omega^2} \right). \quad (43)$$

A beiktatási csillapítás zérushelyei:

$$l = n \frac{\lambda}{2}, \quad \Theta = n\pi, \quad (n=0, 1, 2, \dots). \quad (44)$$

A 7. ábrán van feltüntetve a sávközi frekvenciához tartozó $L_0 - C_0$ beiktatási csillapítás-csatolási csillapítás függvény. A fali csatlakozójzatokban csatoló elemként egyszerű ellenállást is felhasználnak igénytelenebb esetekben. A 7. ábrán összehasonlításképpen fel van tüntetve az ellenállásos kicsatolásnak a kicsatolási csillapítás-átmenő csillapítás függvénykapcsolata.

Íránycsatoló méretezés

A továbbiakban a tervezés szempontjából vizsgáljuk a csatolt tápvonalszakaszokból felépülő iránycsatolót. A tervezés során adott a frekvenciatartomány, a sávközépi csatolás (C_0) és a hullámellenállás (Z_0), ezekhez az értékekhez kell meghatározni a geometriai elrendezést (18) és (30) alapján.

$$\frac{C_{10}}{C_{12}} = \frac{1 - \text{num log} \left(-\frac{C_0}{20} \right)}{\text{num log} \left(-\frac{C_0}{20} \right)}. \quad (45)$$

Ugyanakkor a (20) összefüggés alapján

$$C_{10} + C_{12} = \frac{\sqrt{\epsilon\mu}}{Z_0 \sqrt{1 - \text{num log} \left\{ -\frac{C_0}{10} \right\}}}. \quad (46)$$

A (45) és (46) összefüggés alapján meghatározható C_{10} és C_{12} . A kapacitások kifejezéseiben vannak a geometriai méretek (8a és 8b ábra).

A hosszegységre eső kapacitások [2] alapján:

$$C_{10} = 2\pi\epsilon \frac{\ln \frac{2h_2}{r_2} - \ln \frac{b}{d}}{\ln \frac{2h_1}{r_1} \ln \frac{2h_2}{r_2} - \ln^2 \frac{b}{d}}, \quad (47)$$

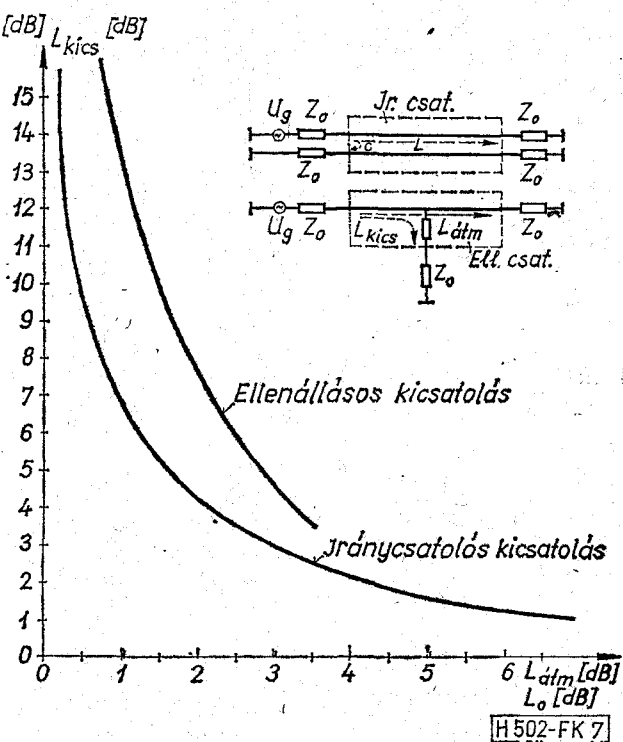
$$C_{20} = 2\pi\epsilon \frac{\ln \frac{2h_1}{r_1} - \ln \frac{b}{d}}{\ln \frac{2h_1}{r_1} \ln \frac{2h_2}{r_2} - \ln^2 \frac{b}{d}}, \quad (48)$$

$$C_{12} = 2\pi\epsilon \frac{\ln \frac{b}{d}}{\ln \frac{2h_1}{r_1} \ln \frac{2h_2}{r_2} - \ln^2 \frac{b}{d}}. \quad (49)$$

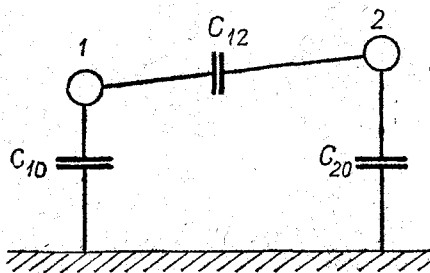
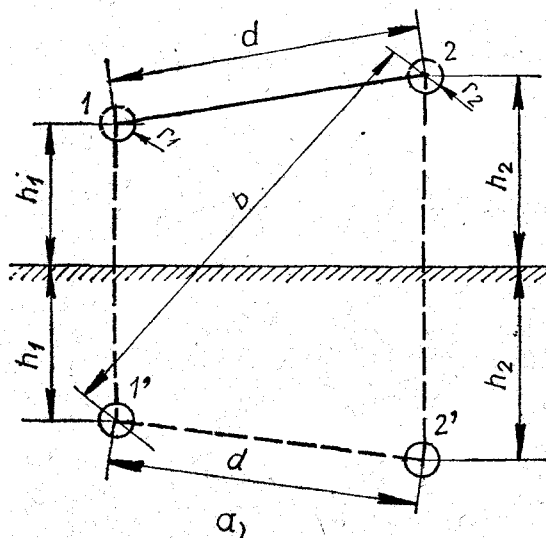
Abban az esetben, ha szimmetrikus a csatolt vezetékrendszer (9. ábra);

$$r_1 = r_2 = r,$$

$$h_1 = h_2 = h.$$



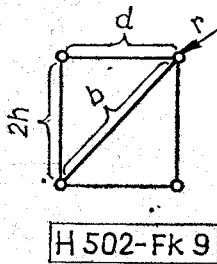
7. ábra



b₁

H 502-Fk 8

8. ábra



9. ábra

Ekkor a kapacitások kifejezései

$$C_{10} = C_{20} = \frac{2\pi\epsilon}{\ln\left(\frac{2h}{r} \frac{b}{d}\right)}, \quad (50)$$

$$C_{12} = 2\pi\epsilon \frac{\ln\frac{b}{d}}{\ln\left[\frac{2h}{r} \frac{b}{d}\right] \ln\left[\frac{2h}{r} \frac{d}{b}\right]}, \quad (51)$$

$$C_{11} = C_{10} + C_{12} = 2\pi\epsilon \frac{\ln\frac{2h}{r}}{\ln\left(\frac{2h}{r} \frac{b}{d}\right) \ln\left(\frac{2h}{r} \frac{d}{b}\right)}. \quad (52)$$

A *k* tényező:

$$k = \frac{C_{12}}{C_{11}} = \frac{\ln\frac{b}{d}}{\ln\frac{2h}{r}}. \quad (53)$$

A továbbiakban bevezetjük a következő paramétereket:

$$A = \frac{2h}{r}, \quad B = \frac{b}{d}, \quad C = \frac{d}{r}.$$

A hosszegységre eső kapacitások az új paraméterekkel:

$$C_{10} = \frac{2\pi\epsilon}{\ln(A \cdot B)}, \quad (54)$$

$$C_{12} = \frac{2\pi\epsilon \cdot \ln B}{\ln(AB) \ln\left(\frac{A}{B}\right)}, \quad (55)$$

$$C_{11} = \frac{2\pi\epsilon \ln A}{\ln(AB) \ln\left(\frac{A}{B}\right)}. \quad (56)$$

A *k* tényező:

$$k = \frac{\ln B}{\ln A}. \quad (57)$$

Ha ismert az *A* és *B* paraméter, ismert a geometria. Az (57) kifejezésből

$$B = A^k,$$

$$C_{10} = \frac{2\pi\epsilon}{\ln(A \cdot B)} = \frac{2\pi\epsilon}{\ln A^{k+1}}, \quad (58)$$

$$A = \exp\left(\frac{1}{k+1} \frac{2\pi\epsilon}{C_{10}}\right) = \frac{2h}{r}, \quad (59)$$

$$B = \exp\left(\frac{k}{k+1} \frac{2\pi\epsilon}{C_{10}}\right) = \frac{b}{d}, \quad (60)$$

$$C = \frac{A}{\sqrt{B^2 - 1}} = \frac{d}{r}. \quad (61)$$

A huzalátmérőt megválasztva, a csatolt vezetékek magassága a fémfelület felett a következő:

$$h = \frac{A \cdot r}{2} = \frac{A \Phi}{4}.$$

A csatolt vezetékek egymástól való távolsága:

$$d = C \cdot r = \frac{C \cdot \Phi}{2}.$$

Tervezési példa

Tervezzük meg a

$$C_0 = 10 \text{ dB}, \quad Z_0 = 75 \Omega, \quad f_0 = 600 \text{ MHz}$$

paraméterekkel adott iránycsatoló geometriai elrendezését:

- a) légdielektrikumra,
- b) polisztirol dielektrikumra.

a) tervezés légdielektrikumra

A csatolt vezetékek hossza:

$$l = \frac{\lambda_0}{4} = 12,5 \text{ cm}.$$

A kapacitásokra vonatkozó összefüggésekbe helyettesítve:

$$\frac{C_{10}}{C_{12}} = 2,16,$$

$$C_{10} + C_{12} = 0,47 \text{ pF/cm}.$$

A két összefüggés alapján

$$C_{12} = 0,148 \text{ pF/cm},$$

$$C_{10} = 0,320 \text{ pF/cm}.$$

A továbbiakban felhasználva az (59), (60), (61) összefüggéseket, közvetlenül meghatározhatjuk a szimmetrikus geometriai elrendezés paramétereit.

$$A = 3,75,$$

$$B = 1,52,$$

$$C = 3,29.$$

A huzalátmérőt 1 mm-re választva

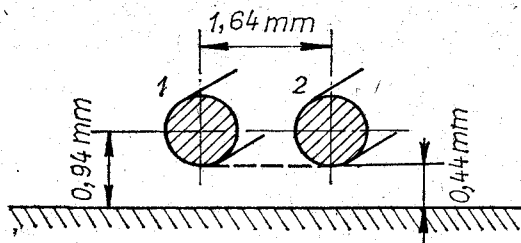
$$h = 0,94 \text{ mm},$$

$$d = 1,64 \text{ mm}.$$

A csatolt vezeték elrendezést a 10. ábra mutatja.

b) tervezés polisztirol dielektrikumra

A dielektrikumban mért hullámhossz polisztirol esetén $\epsilon_r = 2,55$, $\lambda_1 = \frac{\lambda_0}{\sqrt{\epsilon_r}}$.



H 502-FK-10

10. ábra

A csatolt vezeték hossza:

$$l_1 = 7,83 \text{ cm.}$$

A kapacitásokra vonatkozó összefüggések:

$$(C_{10} + C_{12})_d = \frac{\sqrt{\epsilon_r}}{c \cdot Z_0 \sqrt{1 - k^2}} = \sqrt{\epsilon_r} \cdot (C_{10} + C_{12}) = 0,75 \text{ pF/cm}$$

$$\left(\frac{C_{10}}{C_{12}}\right)_d = \frac{C_{10}}{C_{12}} = \frac{1 - k}{k} = 2,16,$$

$$(C_{10})_d = \sqrt{\epsilon_r} \cdot C_{10} = 0,512 \text{ pF/cm,}$$

$$(C_{12})_d = \sqrt{\epsilon_r} \cdot C_{12} = 0,238 \text{ pF/cm.}$$

A geometriai adatok meghatározása:

$$A_d = A^{\sqrt{\epsilon_r}} = 8,3,$$

$$B_d = B^{\sqrt{\epsilon_r}} = 1,95,$$

$$C_d = 4,96.$$

$\varnothing = 1 \text{ mm}$ húzalvastagság esetén:

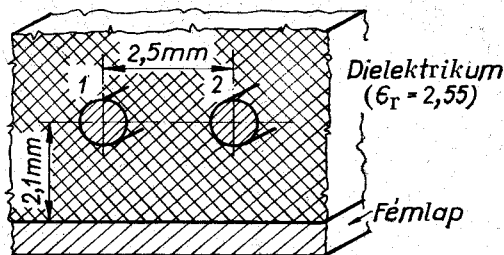
$$h_d = 2,07 \text{ mm} \sim 2,1 \text{ mm,}$$

$$d_d \cong 2,5 \text{ mm.}$$

A csatolt vezetékrendezést a 11. ábra mutatja.

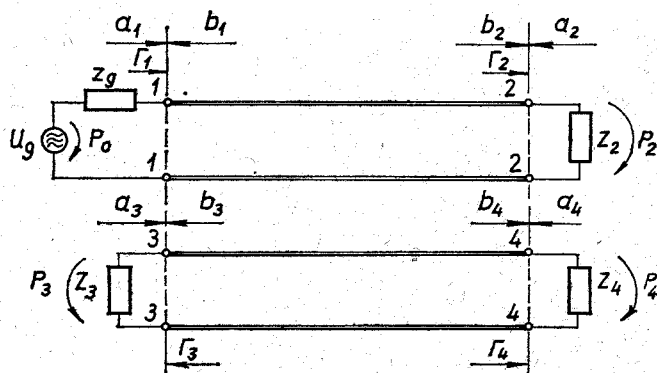
Illesztetlen elzárások között működő ideális iránycsatoló

Abban az esetben, ha nem a hullámellenállásokkal zárjuk le az iránycsatoló kapuit, reflexiók jönnek létre, s ennek következtében megváltoznak az egyes kapukra jutó teljesítmények. Reflexiómentes lezárásoknál a diagonálison fekvő kapura nem jut teljesítmény, illesztetlen lezárásoknál viszont a reflexiókból



H 502-Fk 11

11. ábra



H 502-FK 12

12. ábra

adódóan meghatározott záróirányú teljesítmény-átvitel lesz. Megváltozik a csatolás és a beiktatási csillapítás értéke is. A továbbiakban ezeket a hatásokat vizsgáljuk a szórás mátrixos leírási móddal. A 12. ábra illesztetlen, nem ideális lezárások között működő ideális iránycsatolót mutat.

A reflexiók karakterisztika

$$\bar{b} = \bar{S}a, \quad (62)$$

az ideális iránycsatolónál:

$$\begin{bmatrix} b_1 \\ b_2 \\ b_3 \\ b_4 \end{bmatrix} = \begin{bmatrix} 0 & S_{12} & S_{13} & 0 \\ S_{12} & 0 & 0 & S_{13} \\ S_{13} & 0 & 0 & S_{12} \\ 0 & S_{13} & S_{12} & 0 \end{bmatrix} \begin{bmatrix} a_1 \\ a_2 \\ a_3 \\ a_4 \end{bmatrix}, \quad (63)$$

$$\bar{a} = \bar{S}^{-1} \cdot \bar{b}. \quad (64)$$

Az \bar{S} mátrix invertálását elvégezve kapjuk:

$$\begin{bmatrix} a_1 \\ a_2 \\ a_3 \\ a_4 \end{bmatrix} = \begin{bmatrix} 0 & \frac{S_{12}}{S_{12}^2 - S_{13}^2} & -\frac{S_{13}}{S_{12}^2 - S_{13}^2} & 0 \\ \frac{S_{12}}{S_{12}^2 - S_{13}^2} & 0 & 0 & -\frac{S_{13}}{S_{12}^2 - S_{13}^2} \\ -\frac{S_{13}}{S_{12}^2 - S_{13}^2} & 0 & 0 & \frac{S_{12}}{S_{12}^2 - S_{13}^2} \\ 0 & -\frac{S_{13}}{S_{12}^2 - S_{13}^2} & \frac{S_{12}}{S_{12}^2 - S_{13}^2} & 0 \end{bmatrix} \begin{bmatrix} b_1 \\ b_2 \\ b_3 \\ b_4 \end{bmatrix} \quad (65)$$

A lezárásokra vonatkozó összefüggések:

$$a_2 = \Gamma_2 \cdot b_2, \quad (66)$$

$$a_3 = \Gamma_3 \cdot b_3, \quad (67)$$

$$a_4 = \Gamma_4 \cdot b_4. \quad (68)$$

Ezeket felhasználva kapjuk

$$\begin{bmatrix} a_1 \\ 0 \\ 0 \\ 0 \end{bmatrix} = \begin{bmatrix} 0 & \frac{S_{12}}{S_{12}^2 - S_{13}^2} & -\frac{S_{13}}{S_{12}^2 - S_{13}^2} & 0 \\ \frac{S_{12}}{S_{12}^2 - S_{13}^2} & -\Gamma_3 & 0 & -\frac{S_{13}}{S_{12}^2 - S_{13}^2} \\ -\frac{S_{13}}{S_{12}^2 - S_{13}^2} & 0 & -\Gamma_3 & \frac{S_{12}}{S_{12}^2 - S_{13}^2} \\ 0 & -\frac{S_{13}}{S_{12}^2 - S_{13}^2} & \frac{S_{12}}{S_{12}^2 - S_{13}^2} & -\Gamma_3 \end{bmatrix} \begin{bmatrix} b_1 \\ b_2 \\ b_3 \\ b_4 \end{bmatrix}. \quad (69)$$

Az iránycsatoló bemeneti feszültségi reflexiótényezőjének a meghatározása illetetlen lezárásoknál.

A Cramer-szabályt felhasználva

$$b_1 = \frac{D_1}{D}. \quad (70)$$

A D és D_1 kifejtését elvégezve meghatározható Γ_1

$$\Gamma_1 = \frac{b_1}{a_1} = \frac{\Gamma_2 S_{12}^2 + \Gamma_3 S_{13}^2 - \Gamma_2 \Gamma_3 \Gamma_4 (S_{12}^2 - S_{13}^2)^2}{1 - \Gamma_4 (S_{12}^2 \Gamma_3 + S_{13}^2 \Gamma_2)}. \quad (71)$$

A beiktatási csillapítás meghatározása

$$L = 10 \lg \frac{P_0}{P_2} = 10 \lg \left\{ \frac{|a_1|^2}{|b_2|^2} \cdot \frac{1}{1 - |\Gamma_2|^2} \right\}, \quad (72)$$

a Cramer-szabály alapján.

$$b_2 = \frac{D_2}{D}. \quad (73)$$

A determinánsokat kifejtve megkapjuk b_2 -t.

$$b_2 = a_1 \cdot S_{12} \cdot \frac{1 - \Gamma_3 \Gamma_4 \cdot (S_{12}^2 - S_{13}^2)}{1 - \Gamma_4 (S_{12}^2 \Gamma_3 + S_{13}^2 \Gamma_2)}. \quad (74)$$

Ennek alapján felírhatjuk a beiktatási csillapítás képletét.

$$L = 10 \lg \frac{P_0}{P_2} = 10 \lg \left\{ \frac{1}{|S_{12}|^2} \left| \frac{1 - \Gamma_4 (S_{12}^2 \Gamma_3 + S_{13}^2 \Gamma_2)}{1 - \Gamma_3 \Gamma_4 \cdot (S_{12}^2 - S_{13}^2)} \right|^2 \frac{1}{1 - |\Gamma_3|^2} \right\}, \quad (75)$$

$$L = 10 \lg \frac{1}{|S_{12}|^2} + 10 \lg \left\{ \left| \frac{1 - \Gamma_4 (S_{12}^2 \Gamma_3 + S_{13}^2 \Gamma_2)}{1 - \Gamma_3 \Gamma_4 \cdot (S_{12}^2 - S_{13}^2)} \right|^2 \frac{1}{1 - |\Gamma_3|^2} \right\}. \quad (76)$$

ΔL_2 a belktatási csillapításnak az illetetlenségekből adódó megváltozása.

A csatolási csillapítás meghatározása

$$C^{[db]} = 10 \lg \frac{P_0}{P_3} = 10 \lg \left\{ \frac{|a_1|^2}{|b_3|^2} \cdot \frac{1}{1 - |\Gamma_3|^2} \right\}, \quad (77)$$

$$b_3 = \frac{D_3}{D}. \quad (78)$$

A kifejezés után

$$b_3 = a_1 \cdot S_{13} \cdot \frac{1 + \Gamma_2 \cdot \Gamma_4 \cdot (S_{12}^2 - S_{13}^2)}{1 - \Gamma_3 \cdot (S_{12}^2 \Gamma_3 + S_{13}^2 \Gamma_2)}. \quad (79)$$

A csatolási csillapítás képlete:

$$C = 10 \lg \left\{ \frac{1}{|S_{13}|^2} \cdot \left| \frac{1 - \Gamma_4 (S_{12}^2 \Gamma_3 + S_{13}^2 \Gamma_2)}{1 + \Gamma_2 \Gamma_4 \cdot (S_{12}^2 - S_{13}^2)} \right|^2 \frac{1}{1 - |\Gamma_3|^2} \right\}, \quad (80)$$

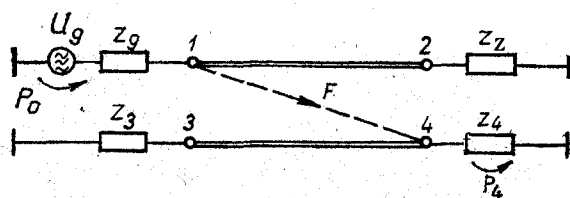
$$C = 10 \lg \frac{1}{|S_{13}|^2} +$$

$$+ 10 \lg \left\{ \underbrace{\left| \frac{1 - \Gamma_4 \cdot (S_{12}^2 \Gamma_3 + S_{13}^2 \Gamma_2)}{1 + \Gamma_2 \Gamma_4 \cdot (S_{12}^2 - S_{13}^2)} \right|^2}_{\Delta C} \frac{1}{1 - |\Gamma_3|^2} \right\}. \quad (81)$$

ΔC a csatolási csillapításnak az illetetlenségekből adódó megváltozása.

A diagonális átvitel meghatározása

A reflexiók következtében a 13. ábra szerinti 4. kapura $P_4 > 0$ teljesítmény jut, noha az S_{14} szórási mátrixelem zérus.



H 502-FK 13

13. ábra

$$F = 10 \lg \frac{P_0}{P_4} = 10 \lg \left\{ \left| \frac{a_1}{b_4} \right|^2 \frac{1}{1 - |\Gamma_4|^2} \right\} \quad (82)$$

$$b_4 = \frac{D_4}{D} \quad (83)$$

Ebből meghatározhatjuk b_4 -ét:

$$b_4 = a_1 \cdot \frac{S_{13} S_{12} (\Gamma_2 + \Gamma_3)}{i - \Gamma_4 \cdot (S_{13}^2 \Gamma_2 + S_{12}^2 \Gamma_3)} \quad (84)$$

A diagonális átvitel képlete:

$$F = 10 \lg \left\{ \frac{1}{|S_{13}|^2 |S_{12}|^2} \cdot \left| \frac{i - \Gamma_4 \cdot (S_{12}^2 \Gamma_3 + S_{13}^2 \Gamma_2)}{(\Gamma_3 + \Gamma_2)} \right|^2 \frac{1}{1 - |\Gamma_4|^2} \right\} \quad (85)$$

Az irányhatás meghatározása

Az irányhatás a 3. kapuról a 4. kapura való teljesítményátvitel. Értékét a diagonális átvitel és a csatolási csillapítás különbsége adja.

$$I = F - C = 10 \lg \frac{P_3}{P_4} = 10 \lg \left\{ \left| \frac{b_3}{b_4} \right|^2 \cdot \frac{1 - |\Gamma_3|^2}{1 - |\Gamma_4|^2} \right\} \quad (86)$$

Felhasználva a (79) és (84) kifejezéseket:

$$I = 10 \lg \cdot \left\{ \frac{1}{|S_{12}|^2} \left| \frac{i + \Gamma_2 \Gamma_4 \cdot (S_{12}^2 - S_{13}^2)}{(\Gamma_3 + \Gamma_2)} \right|^2 \cdot \frac{1 - |\Gamma_3|^2}{1 - |\Gamma_4|^2} \right\} \quad (87)$$

Számítási példa

Az eddigi redményeket felhasználva, konkrétan megvizsgáljuk, hogy mennyire változnak meg egy $C_0 = 10$ dB csatolású iránycsatoló sávközépre vonatkoztatott paraméterei abban az esetben, ha

$$-0,2 < \Gamma_i < +0,2 \quad (i = 2, 3, 4).$$

Ez azt jelenti, hogy

$$\frac{Z_0}{1,5} < Z_i < 1,5 Z_0.$$

A számított eredményeket a 2. táblázat tartalmazza. A szélső értékeket összefoglalva:

$$-0,230 < \Gamma_1 < +0,203,$$

$$r_1 \leq 1,51,$$

$$0,45 \leq L_0 < 0,7,$$

$$9,5 \leq C_0 \leq 10,81.$$

Az illesztetlenségek legsúlyosabb következménye az irányítottság leromlása, ami akkor lép fel, ha a 2. és a 3. kapu reflexiója azonos előjellel.

A legkedvezőbb helyzet akkor áll elő, ha

$$\Gamma_3 = -\Gamma_2.$$

Ekkor az irányítottság az ideálisnak megfelelő, s a többi paraméter is csak kismértékben változik meg.

Γ_2	Γ_3	Γ_4	Γ_1	$L_0^{[dB]}$	$C_0^{[dB]}$	$F_0^{[dB]}$	$I_0^{[dB]}$
0	0	0	0	0,45	10	∞	∞
+0,2	+0,2	+0,2	+0,203	0,56	9,5	18,23	8,73
+0,2	+0,2	-0,2	+0,197	0,7	10,81	18,93	8,12
+0,2	-0,2	+0,2	+0,160	0,63	10,18	∞	∞
+0,2	-0,2	-0,2	+0,160	0,63	10,18	∞	∞
-0,2	+0,2	+0,2	-0,160	0,63	10,18	∞	∞
-0,2	+0,2	-0,2	-0,160	0,63	10,18	∞	∞
-0,2	-0,2	+0,2	-0,197	0,7	10,81	18,93	8,12
-0,2	-0,2	-0,2	-0,203	0,56	9,5	18,23	8,73

Változó csatolási tényezőjű iránycsatolók

A továbbiakban megvizsgáljuk, hogyan alakul az átvitel egy $k(z)$ folytonos függvény szerint változó csatolási tényezőnél (14. ábra). Feltételezzük, hogy a csatolás laza, így $k^2(z) \ll 1$. Ekkor az indukált hullámok visszahatása elhanyagolható.

A 2. segédvonal dz szakaszán indukált feszültség:

$$dU_2(z) = \frac{\partial}{\partial t} [L_{12}(z) \cdot I_1(z)] dz \quad (88)$$

Felhasználva a következő összefüggéseket:

$$k(z) = \frac{L_{12}(z)}{L_{11}(z)}, \quad I_1(z) = U_1(z) \cdot \sqrt{\frac{C_{11}(z)}{L_{11}(z)}} \quad (89)$$

kapjuk,

$$dU_2(z) = k(z) \cdot \sqrt{L_{11}(z) C_{11}(z)} \cdot \frac{\partial U_1}{\partial t} dz \quad (90)$$

Az 1. fővonal feszültsége

$$U_1(z, t) = A \cdot e^{j\omega t} \cdot e^{-j\beta z} = U_{1(a-a)} \cdot e^{-j\beta z} \quad (91)$$

így

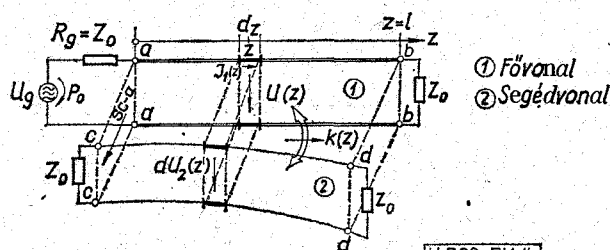
$$dU_2(z) = j\omega \cdot k(z) \cdot \sqrt{L_{11}(z) C_{11}(z)} U_{1(a-a)} \cdot e^{-j\beta z} dz.$$

A fázistényező:

$$\beta = \omega \cdot \sqrt{L_{11}(z) C_{11}(z)}. \quad (93)$$

a TEM-módusú tápvonalon konstans, így

$$dU_2(z) = j\beta k(z) \cdot U_{1(a-a)} \cdot e^{-j\beta z} dz \quad (94)$$



H 502-FK 14

14. ábra

A c-c kapcsokon feszültség

$$dU_{2(c-c)} = j\beta \cdot k(z) \cdot U_{1(a-a)} \cdot e^{-j2\beta z} dz. \quad (95)$$

A teljes feszültség

$$U_{2(c-c)} = \int_0^l j\beta \cdot k(z) \cdot U_{1(a-a)} \cdot e^{-j2\beta z} dz. \quad (96)$$

A feszültségátvitel, ami az S_{c-a} szórási mátrixelem

$$S_{c-a} = \frac{U_{2(c-c)}}{U_{1(a-a)}} = j\beta \int_0^l k(z) \cdot e^{-j2\beta z} dz. \quad (97)$$

Példaként vizsgáljuk meg, hogy a $k(z)=k$ konstans csatolású vonal átvitelét a fenti formulával számolva, megkapjuk-e a más módszerrel már meghatározott képletet.

$$S_{c-a} = S_{13} = j\beta k \cdot \int_0^l e^{-j2\beta z} dz, \quad (98)$$

$$S_{c-a} = j\beta k \cdot \left[\frac{e^{-j2\beta z}}{-j2\beta} \right]_0^l = \frac{k}{2} \cdot (1 - e^{-j2\beta l}). \quad (99)$$

Felhasználva, hogy

$$1 - e^{-j2\beta l} = \frac{2j \sin \beta l}{\cos \beta l + j \sin \beta l}, \quad (100)$$

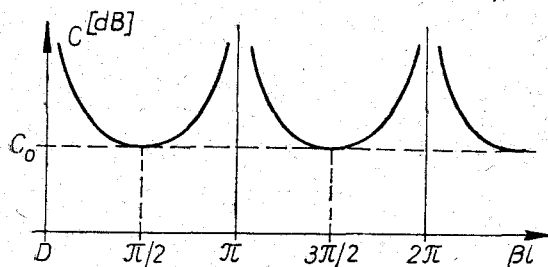
$$S_{c-a} = \frac{j k \cdot \sin \beta l}{\cos \beta l + j \sin \beta l}. \quad (101)$$

Ezt a képletet összehasonlítva, a szórási mátrix sajátértékei alapján meghatározott (26) képlettel látható, hogy $k^2 \ll 1$ esetén megegyezik vele.

A csatolási csillapítás $k^2 \ll 1$ esetén:

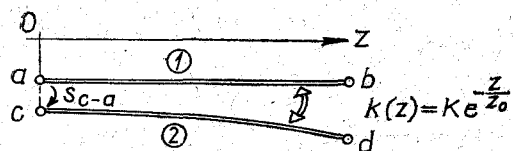
$$C^{[dB]} = -20 \lg |S_{c-a}| = -(20 \lg k + 20 \lg \sin \beta l). \quad (102)$$

A csatolási csillapítást a 15. ábra mutatja.



H 502-FK 15

15. ábra



H 502-FK 16

16. ábra

Exponenciális csatolási tényezőjű iránycsatoló

$$k(z) = K \cdot e^{-\frac{z}{z_0}}. \quad (103)$$

z_0 az a hossz, ahol e - ad részére csökken $k(z)$.

$$S_{c-a} = j\beta \int_0^l K \cdot e^{-\frac{z}{z_0}} \cdot e^{-j2\beta z} dz = j\beta K \cdot \int_0^l e^{-(j2\beta + \frac{1}{z_0})z} dz. \quad (104)$$

Ebből

$$|S_{c-a}| = \left| \frac{j\beta K l}{j2\beta l + \frac{l}{z_0}} \right| \sqrt{1 - 2 \cdot e^{-\frac{l}{z_0}} \cos 2\beta l + e^{-\frac{2l}{z_0}}}. \quad (105)$$

Az $|S_{c-a}|$ kifejezést vizsgálva, megállapíthatjuk, hogy az $\frac{l}{z_0}$ paraméter értékétől függően különböző alakú

lehet. Ha $\frac{l}{z_0} \ll 1$,

$$|S_{c-a}| \cong K \cdot \sin \beta l = K \cdot \sin \frac{\omega l}{v}. \quad (106)$$

A csatolási csillapítás a konstans csatolási tényezőjű vonalhoz hasonlóan trigonometrikus függvény szerint változik.

Ha $\frac{l}{z_0} > 1$,

$$|S_{c-a}| = \left| \frac{j\omega \cdot K}{j2\omega + \frac{v}{z_0}} \right| \cdot f_1(\omega) = |F(\omega)| \cdot f_1(\omega), \quad (107)$$

$$f_1(\omega) = \sqrt{1 - 2e^{-\frac{l}{z_0}} \cos \frac{2\omega l}{v} + e^{-\frac{2l}{z_0}}}, \quad (108)$$

$$1 - \Delta < f_1(\omega) < 1 + \Delta, \quad (109)$$

Ha adott a Δ ingadozás:

$$\Delta = e^{-\frac{l}{z_0}}, \quad (110)$$

$$z_0 = -\frac{l}{\ln \Delta}. \quad (111)$$

Az $F(\omega)$ kifejezést vizsgálva

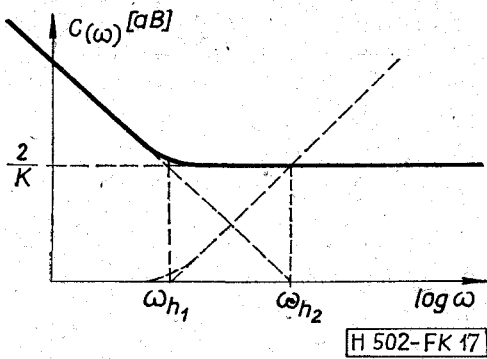
$$F(\omega) = \frac{jK \cdot \omega}{j2\omega + \frac{v}{z_0}}. \quad (112)$$

Bode-diagramon ábrázolva a $C(\omega) = \frac{1}{F(\omega)}$ kifejezést (17. ábra);

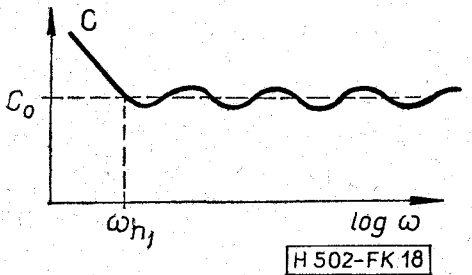
$$C(\omega) = \frac{1}{F(\omega)} = \frac{1 + j \frac{\omega}{\omega_{h1}}}{\frac{\omega}{\omega_{h2}}}, \quad (113)$$

$$\omega_{h1} = \frac{v}{2z_0}, \quad (114)$$

$$\omega_{h2} = \frac{v}{z_0 K}. \quad (115)$$



17. ábra



18. ábra

Figyelembe véve $f_1(\omega)$ hatását is, a 18. ábra mutatja a csatolási csillapítás frekvenciafüggését. C_0 alapján meghatározható a K paraméter:

$$K = 2 \text{ num log} \left(-\frac{C_0}{20} \right). \quad (116)$$

Az eddigiek alapján a csatolási tényező kifejezésében levő két paraméter z_0 és K meghatározható a csatolási csillapításra megadott ingadozás, ill. a névleges csatolás alapján. Az exponenciális csatolást a csatolt vezeték távolságának meghatározott törvényszerűség szerinti változtatásával állítjuk be (19. ábra).

$$k(z) = \frac{C_{12}(z)}{C_{11}(z)} = \frac{\ln \frac{b(z)}{d(z)}}{\ln \frac{2h}{r}} = K \cdot e^{-\frac{z}{z_0}}, \quad (117)$$

$$\ln \frac{b(z)}{d(z)} = k(z) \ln A, \quad (118)$$

$$\frac{b(z)}{d(z)} = e^{k(z) \ln A}, \quad (119)$$

Ugyanakkor

$$C_{11}(z) = 2\pi\epsilon \frac{\ln A}{\ln \left\{ A \cdot \frac{b(z)}{d(z)} \right\} \cdot \ln \left\{ A \cdot \frac{d(z)}{b(z)} \right\}} = \frac{2\pi\epsilon}{[1 - k^2(z)] \ln A}. \quad (120)$$

Ha $k^2(z) \ll 1$, akkor

$$C_{11}(z) = \frac{\sqrt{\epsilon\mu}}{Z_0} = \frac{2\pi\epsilon}{\ln A} = \text{const.} \quad (121)$$

$$A = \frac{2h}{r} = e^{\frac{z_0}{60}}, \text{ ha a dielektrikum levegő.} \quad (122)$$

Z_0 ismeretében kiszámítható a csatolt vezeték fémlemez feletti magassága.

A továbbiakban meghatározzuk a csatolt vezeték egymástól való távolságát megadó $d(z)$ függvényt.

$$\frac{d(z)}{2h} = \frac{1}{\sqrt{e^{2k(z) \ln A} - 1}}.$$

Tervezési példa

Tervezendő 75Ω -ra olyan 20 dB-es exponenciális csatolású iránycsatoló, amelynél a csatolási csillapítás ingadozása kisebb, mint 5% 600 MHz-től kezdődően (20. ábra).

$$C_0 = 20 \text{ dB},$$

$$\Delta = \pm 5\%,$$

$$f_h = 600 \text{ MHz},$$

$$k(z) = K e^{-\frac{z}{z_0}}$$

$$K = 2 \text{ num log} \left[-\frac{C_0}{20} \right] = 0,2,$$

$$z_0 = -\frac{l}{\ln \Delta} = \frac{l}{3}.$$

Mivel

$$\omega_h = \frac{v}{2z_0} = \frac{3v}{2l},$$

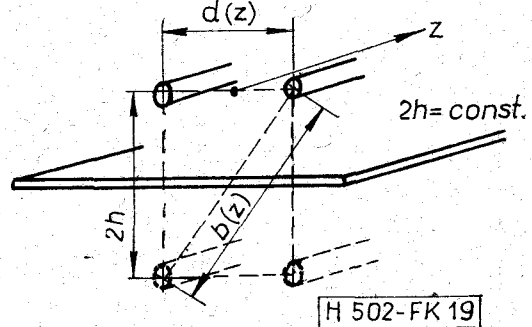
innen

$$l = 12 \text{ cm},$$

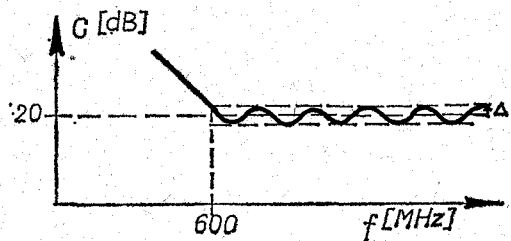
$$z_0 = 4 \text{ cm},$$

tehát

$$k(z) = 0,2 \cdot e^{-3 \cdot \left(\frac{z}{l}\right)}.$$



19. ábra



20. ábra

A 21. ábra mutatja a $k(z)$ függvényt.
A továbbiakban a geometriát határozzuk meg.

$$A = \frac{2h}{r} = e^{\frac{75}{60}} = 3,49.$$

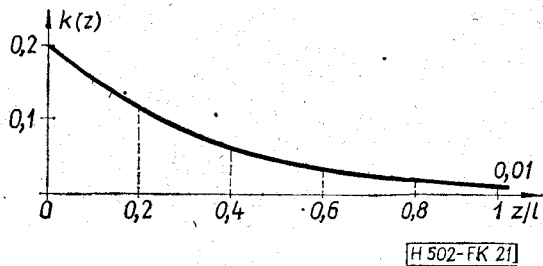
Ha $\varnothing = 1$ mm huzalt használunk,

$$h \cong 0,87 \text{ mm.}$$

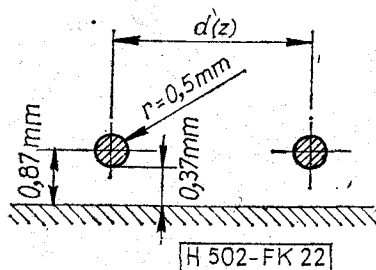
Az elrendezést a 22. ábra mutatja.

$$\frac{d(z)}{2h} = \frac{1}{\sqrt{e^{2k(z) \ln A} - 1}} = \frac{1}{\sqrt{e^{2,48k(z)} - 1}}.$$

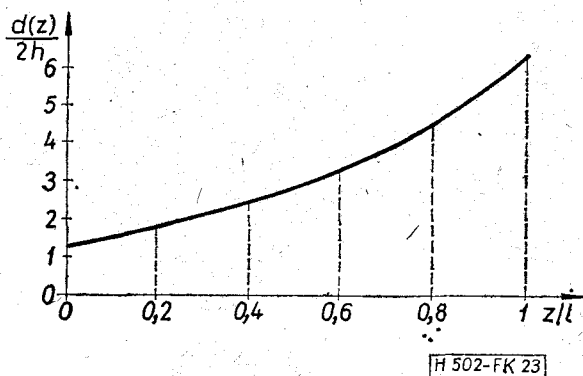
A 23. ábra ezt a függvényt mutatja.



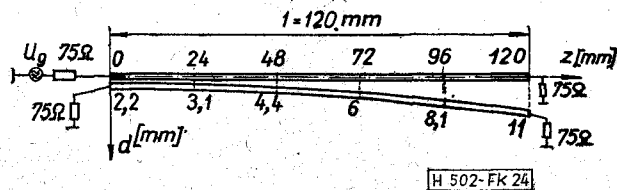
21. ábra



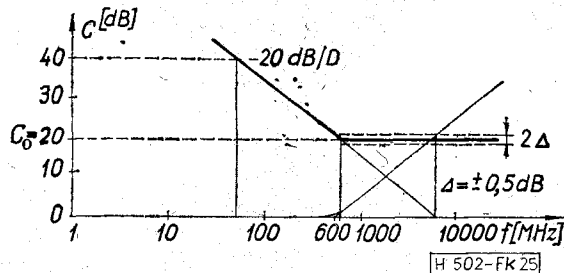
22. ábra



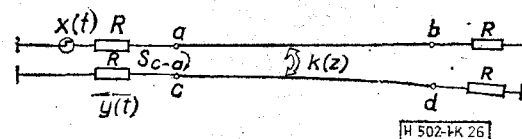
23. ábra



24. ábra



25. ábra



26. ábra

A 24. ábra méretarányosan ábrázolja a csatolt vezetékcsatlakozásokat.

Bode-diagramon ábrázoljuk a csatlakozási csillapítást (25. ábra):

$$C(f) = \frac{1 + f \frac{f}{6 \cdot 10^8}}{f \frac{f}{6 \cdot 10^9}} = \frac{1 + j \frac{f [\text{MHz}]}{6 \cdot 10^2}}{j \frac{f [\text{MHz}]}{6 \cdot 10^3}}.$$

Ezzel a kitűzött feladatot megoldottuk.

IRODALOM

- [1] Dr. Jachmovits László: Elosztott paraméterű passzív hálózatok mátrixanalízise. Tankönyvkiadó, Budapest 1973.
- [2] Dr. Simonyi Károly: Villamosságtan. Akadémiai Kiadó, Budapest 1973.
- [3] A. Kraus: Der Technische Richtkoppler aus gekoppelten Leitungen. Rohde & Schwarz Mitteilungen. Ausgabe 21. Jahrgang 16. November 1967.
- [4] Bernard M. Oliver: Directional Electromagnetic Couplers. Proceedings of the I.R.E. November 1954. 1686-92.
- [5] Fiala Károly: Koncentrikus fali csatlakozóaljzatok tervezése. Műszaki terv. Híradótechnikai Vállalat.